

Список литературы

- [1] Богоолаз А. А., Бородин В. С., Левченко Б. П., Рутберг Ф. Г. // ЖТФ. 1977. Т. 47. Вып. 1. С. 121—132.
- [2] Бакшт Ф. Г., Дюжев Г. А., Каплан В. Б. Препринт ФТИ. № 532. Л., 1978.
- [3] Смирнов Б. М. Ионы и возбужденные атомы в плазме. М.: Атомиздат, 1974. 456 с.
- [4] Термоэмиссионные преобразователи и низкотемпературная плазма / Под ред. Б. Я. Мойжеса и Г. Е. Пикуса. М.: Наука, 1973. 480 с.
- [5] Бакшт Ф. Г., Бородин В. С., Журавлев В. Н., Рутберг Ф. Г. // ЖТФ. 1987. Т. 57. Вып. 12. С. 2296—2305.
- [6] Бакшт Ф. Г., Юрьев В. Г. // ЖТФ. 1979. Т. 49. Вып. 5. С. 905—944.
- [7] Брагинский С. И. // Вопросы теории плазмы / Под ред. М. А. Леонитовича. М.: Атомиздат, 1963. Вып. 1. С. 183—272.
- [8] Бакшт Ф. Г., Елизаров Л. И., Иванов В. Г., Юрьев В. Г. // Физика плазмы. 1988. Т. 14. № 1. С. 91—97.
- [9] Чен Ф. // Диагностика плазмы / Под ред. Р. Хадлстоуна, С. Леонарда. М.: Мир, 1967.
- [10] Стаманов И. П., Черковец В. Е. Физика термоэмиссионного преобразования. М.: Энергогатомиздат, 1985. 207 с.
- [11] Бакшт Ф. Г., Дюжев Г. А., Митрофанов Н. К. и др. // ЖТФ. 1973. Т. 43. Вып. 12. С. 2574—2583.
- [12] Caruso A., Cavaliere A. // Nuovo Cimento. 1962. Vol. 26. N 6. P. 1389—1404.
- [13] Бакшт Ф. Г. // ЖТФ. 1973. Т. 43. Вып. 1. С. 214—217.
- [14] Дюжев Г. А., Митрофанов Н. К. // ЖТФ. 1978. Т. 48. Вып. 12. С. 2500—2505.

Физико-технический институт
им. А. Ф. Иоффе АН СССР
Ленинград

Поступило в Редакцию
20 октября 1988 г.

07

Журнал технической физики, т. 59, в. 10, 1989

ИССЛЕДОВАНИЕ СО₂ РЕГЕНЕРАТИВНОГО УСИЛИТЕЛЯ С ПЛАЗМЕННЫМ ЗЕРКАЛОМ

B. B. Аполлонов, K. X. Казаков, Ю. А. Шакир

Создание лазера с зеркальным плазменным затвором [1] открыло перспективы применения лазерной плазмы в технике мощных импульсных лазеров. В работах [2, 3] лазерная плазма применялась в качестве одного из зеркал резонатора CO₂ лазера. В [2] роль плазменного зеркала (ПЗ) выполняла твердая мишень, помещенная в фокальной плоскости фокусирующего зеркала. Сигнал свободной генерации электроионизационного CO₂ лазера с энергией 250 Дж и апертурой 10 см содержал импульсы длительностью менее 1.8 нс. В [3] исследовался ТЕА CO₂ лазер с энергией до 24 Дж и рабочей апертурой 2.5 см. ПЗ резонатора было образовано линзово-зеркальным телескопом, заполняемым различными газами. Инжекция в его резонатор импульса длительностью 2.5 нс привела к генерации пуга импульсов длительностью менее 1 нс.

В настоящей работе исследовался режим регенеративного усиления CO₂ лазера с апертурой 20 см, работающего в условиях жесткой обратной связи [с ПЗ, с целью создания CO₂ регенеративного усилителя субнаносекундных импульсов с энергией излучения 1 кДж].

В эксперименте CO₂ лазер с апертурой 20 см и энергией излучения ~1 кДж работал в режиме регенеративного усиления как пуга наносекундных импульсов [4], инжектируемого в резонатор, так и пуга, отраженного от ПЗ (рис. 1). Такой режим достигался путем совмещения оптических осей регенеративного усилителя и ПЗ, которое состояло из сферического зеркала (радиус кривизны 0.8 м) и мишени, помещенной в вакуумную камеру вблизи фокальной плоскости зеркала. Радиус фокального пятна определялся величиной поперечной сферической aberrации зеркала, по оценке ~0.8 мм.

В работе использовалась сферическая мишень 8 из стали диаметром 45 мм с диффузно-отражающей поверхностью. Отраженное от мишени излучение возвращалось в телескопиче-

ский резонатор 2 усилителя (длина 8.6 м, коэффициент увеличения 2.1), где по численной оценке [5] проходило через активную среду 1 16 раз и затем снова попадало на мишень. Часть излучения ответвлялась плоскопараллельной пластиной (NaCl) и направлялась на фотоприемник

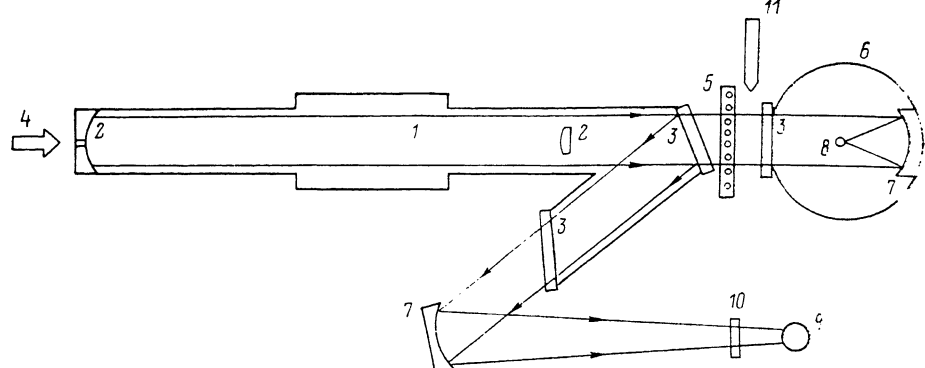


Рис. 1. Схема CO_2 — регенеративного усилителя с плазменным зеркалом.

1 — активная среда CO_2 лазера, 2 — телескопический резонатор, 3 — оптические окна (NaCl), 4 — инжектируемое излучение, 5 — болометр, 6 — вакуумная камера, 7 — фокусирующее зеркало, 8 — мишень, 9 — фотоприемник, 10 — ослабитель, 11 — поглощающая заглушка.

ник 9 типа ФПР-1 (разрешение 0.3 нс). Регистрация сигналов падающего и отраженного от ПЗ излучения осуществлялась на осциллографе «Tektronix-7104» (полоса частот 1 ГГц). Энергия излучения усилителя контролировалась проходным болометром 5, подключенным к мосту сопротивлений. Ошибка измерений энергии не превышала 15 %.

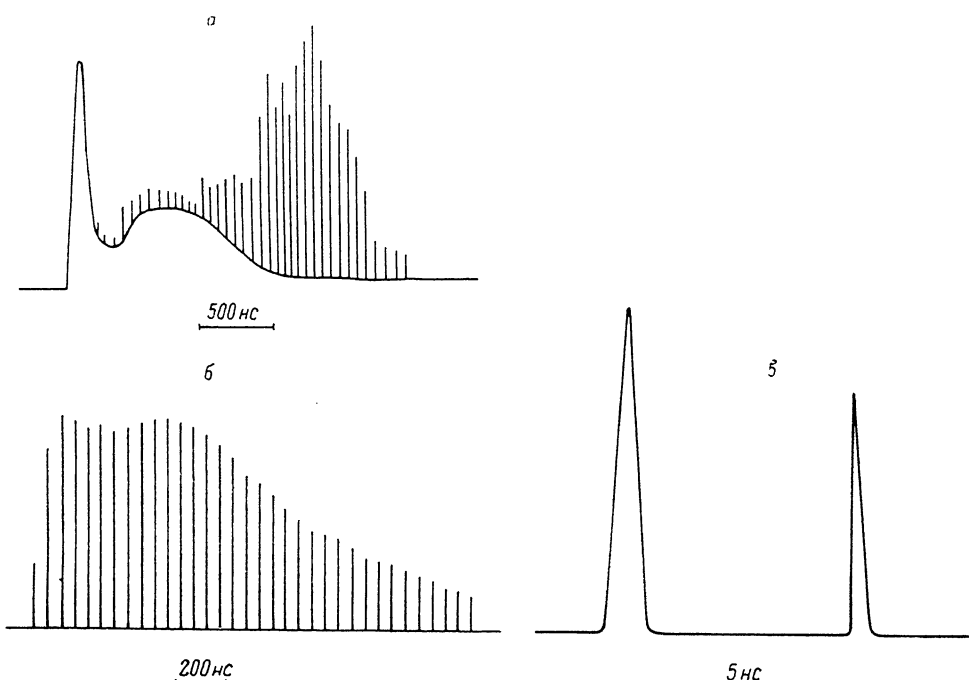


Рис. 2. Осциллограммы импульсов излучения.

а — режим свободной генерации лазера; б, в — режим регенеративного усиления.

Оптимальное положение мишени в камере определялось экспериментально: наблюдался сигнал отраженного от мишени и усиленного активной средой излучения при разных положениях мишени в условиях отсутствия инжектируемого в лазер излучения. Вследствие биений

продольных мод резонатора сигнал свободной генерации содержал амплитудно-модулированные наносекундные импульсы. В [2] показано, что в определенных условиях коэффициент отражения от ПЗ наносекундных импульсов может быть в 2 раза больше, чем для случая длинных импульсов. Данный эксперимент проводился при давлении в камере $2 \cdot 10^{-2}$ мм рт. ст. При положении мишени относительно фокальной плоскости фокусирующего зеркала 7, когда расстояние до зеркала превышало фокусное расстояние на 1 см, были зарегистрированы пучки наносекундных импульсов, отраженных от ПЗ и усиленных в активной среде (рис. 2, а). Некоторые импульсы пучга превышали по амплитуде пик сигнала падающего излучения.

В дальнейшем лазер работал в режиме регенеративного усиления пучга наносекундных импульсов [4]. Будем называть импульсы пучга на выходе регенеративного усилителя первичными (рис. 2, б). Отраженный от ПЗ и усиленный активной средой сигнал содержал вторичные импульсы длительностью 0.6—0.8 нс. Измеренные величины длительности импульсов соответствуют предельному значению разрешения фронтов импульсов применяемой аппаратурой (0.3 нс). Вторичные импульсы были сдвинуты на 20 нс (удвоенное время прохождения излучения от усилителя до мишени) относительно первичных импульсов длительностью 2 нс (рис. 2, в). Численная оценка полосы частот усиления для смеси $\text{CO}_2 : \text{N}_2 : \text{He} = 1 : 1 : 3$ при давлении 1 атм, согласно [8], дает величину 4.2 ГГц. Активная среда с такой полосой должна усиливать импульсы с фронтами ~ 0.1 нс. Следовательно, можно полагать, что длительность субнаносекундных импульсов по полувысоте τ находится в пределах $0.2 < \tau < 0.8$ нс. Контраст наносекундных и субнаносекундных импульсов в пучге по отношению к фону усиленного спонтанного излучения превышал 300 : 1 (измерения проводились на осциллографе «Tektronix-7104»).

Вторичные субнаносекундные импульсы стабильно наблюдались при вариациях плотности энергии излучения \mathcal{E} , падающего на мишень, от 10^3 до $3.4 \cdot 10^4$ Дж/см². В указанной области \mathcal{E} , как показали измерения, энергия излучения усилителя не менялась от импульса к импульсу при открытом и перекрытом поглощающей заглушкой 11 окна камеры. Это означает, что коэффициент отражения R от ПЗ в апертуру фокусирующего зеркала незначительный; согласно [2], если учесть погрешность измерений энергии, $0.05 < R < 0.15$. Лазер характеризует произведение коэффициента усиления слабого сигнала на длину активной среды ~ 5 . В результате (рис. 2, в) амплитуда субнаносекундных импульсов достигала значений, характерных для первичных импульсов.

Наибольшей амплитуды вторичные импульсы достигали при давлении воздуха в камере менее 25 мм рт. ст. Уменьшение давления до $7 \cdot 10^{-3}$ мм рт. ст. качественных изменений не выявило. При давлении больше 25 мм рт. ст. в качестве зеркала, видимо, начинал работать плазменный слой не на мишени, а перед ней, рассеивая и поглощая излучение. Для проверки была удалена мишень. Чтобы получить заметное отражение от лазерной плазмы, потребовалось установить давление в камере выше 0.5 атм. Вторичные импульсы имели амплитуду существенно ниже, чем первичные, как и случае с мишенью при давлениях выше 25 мм рт. ст., что подтвердило вышеупомянутое предположение.

Полученные результаты позволяют предложить схему CO_2 регенеративного усилителя субнаносекундных импульсов с энергией излучения ~ 1 кДж. Для этого необходимо ПЗ, например, типа [3] ввести в резонатор ТЕА CO_2 лазера, генерирующего пучок наносекундных импульсов для инъекции в усилитель [4], тогда инжектируемые импульсы станут субнаносекундными. Это позволит получить на выходе усилителя пучок субнаносекундных импульсов с энергией излучения ~ 1 кДж. При реализации исследованной модели ПЗ на меньшей апертуре для сохранения оптимального значения \mathcal{E} необходимо применить оптические элементы с величиной попечечной сферической aberrации не более 100 мкм.

Таким образом, получено устойчивое усиление субнаносекундных импульсов с помощью ПЗ в CO_2 регенеративном усилителе с апертурой 20 см при давлении активной среды 1 атм. Предложена схема CO_2 регенеративного усилителя субнаносекундных импульсов с энергией ~ 1 кДж.

Список литературы

- [1] Бабанов В. А., Гочелашивили К. С., Ершов Б. В. и др. // Письма в ЖЭТФ. 1974. Т. 20. Вып. 6. С. 411—416.
[2] Басов Н. Г., Бережной И. А., Бойко В. А. и др. // Письма в ЖТФ. 1975. Т. 1. № 24. С. 1105—1108.

- [3] *M. Piche, P. A. Belanger.* // Can. J. Phys., 1982. Vol. 60. N 1. P. 77–87.
- [4] *Аполлонов В. В., Прохоров А. М., Сороченко В. Р., Шакир Ю. А.* // Квантовая электроника. 1988. Т. 15. № 9. С. 1766–1769.
- [5] *Ананьев Ю. А. Оптические резонаторы и проблема расходимости лазерного излучения.* М.: Наука, 1979. 328 с.
- [6] *Лиланд У. Т.* // Газовые лазеры. М., 1986. 552 с.

Институт общей физики АН СССР
Москва

Поступило в Редакцию
13 октября 1988 г.
